

ارزیابی عملکرد مخلوط‌های آسفالتی گرم براساس مدل‌های آزمایشگاهی - تجربی در برابر پدیده‌ی شیارشدگی

مهمشی عمارت، شریف، (اصفهان ۱۳۹۶)، ۱۰۵-۱۷، شماره ۱، ص. ۳۳-۳۴، دوری ۲

علی منصور خاکی (دانشیار)

دانشکده‌ی عمارت، دانشگاه علم و صنعت

محمد رضا احمدی (استاد بار)

بزوه‌شکده‌ی حمل و نقل، مرکز تحقیقات راه، مسکن و شهرسازی

سید محسن متولی‌زاده* (دانشجوی دکتری)

دانشکده‌ی عمارت، دانشگاه تربیت مدرس

ابوذر شفیع پور (دانشجوی دکتری)

دانشکده‌ی عمارت، دانشگاه پام نور

شیارشدگی از جمله خرابی‌های شایع در روسازی‌های انعطاف‌پذیر است. مطالعه‌ی حاضر به ارزیابی خرابی شیارشدگی در سرعت‌های مختلف پرداخته است. لذا، نمونه‌ی مخلوط آسفالتی گرم تهیه و تحت آزمایش قرار گرفته‌اند. نمونه‌ها در ماهات ۴۰ و ۵۵ درجه‌ی سانتی‌گراد، تحت تنشی‌های ۱۰۰ و ۲۰۰ کیلوپاسکال، در ۳ زمان مختلف بارگذاری و نیز در ۰، ۹۰، ۷۷ زمان استراحت، آزمایش شده‌اند. نهایتاً یک مدل عددی با ضریب همبستگی به عنوان خروجی اصلی بزوهش ارائه شده است. نتایج پژوهش حاضر نشان داده‌اند که تأثیرگذارترین عوامل در رشد خرابی در روسازی انعطاف‌پذیر به ترتیب: دما، تغییرات زمان بارگذاری و تنش هستند. در ادامه، در مدل بدست آمده رشدی حدود ۷۶٪ در عمق شیار روسازی در نامناسبترین شرایط محیطی، با افزایش زمان بارگذاری از ۱۰۰ میلی‌ثانیه به ۱۰۰۰ میلی‌ثانیه مشاهده شده است. در نهایت، به منظور کاهش خرابی‌های روسازی آسفالتی در مناطق گرمسیری، کمینه‌ی سرعت حرکت خودرو ۲۰ کیلومتر بر ساعت تعیین شده است.

mkhaki@iust.ac.ir
m.ahadi@bhrc.ac.ir
mohsen.motevalizadeh@modares.ac.ir
abouzarshafiepour@yahoo.com

وازگان کلیدی: تغییر شکل ماندگار، روسازی آسفالتی گرم، ویسکوکشسان،
مدل‌های MEPDG.

۱. مقدمه

تغییر شکل ماندگار، عاملی مهم در طراحی روسازی انعطاف‌پذیر است. با افزایش بار ترافیکی و فشار چرخ، بیشتر تغییر شکل‌های دائمی در لایه‌های بالایی روسازی اتفاق می‌افتد و به منظور تخمین عمق شیار، ضروری است که پارامترهای تغییر شکل دائمی برای مصالح هر لایه تعیین شود. روش‌های متعددی برای تعیین تغییر شکل دائمی مصالح روسازی و البته بیشتر از روش بارگذاری تکرارشونده استفاده شده است. تغییر شکل‌های ماندگار روسازی آسفالتی گرم، وابستگی بسیار زیادی به شرایط محیطی، عدم اطمینان از ترافیک و نحوه‌ی ساخت مخلوط دارد.^[۱]

روشن‌های تجربی - آزمایشگاهی برای پیش‌بینی تنش و کرنش‌های روسازی ارائه شده است. مدل‌های پیش‌بینی شیارشدگی تجربی معمولاً شامل پارامترهایی از قبیل: مشخصات مصالح روسازی و علاوه بر آن شرایط محیطی و ترافیکی است که براساس اطلاعات بدست آمده از راه‌های موجود در واقعیت کالیبره می‌شود. در بیشتر مواقع، اطلاعات کسب شده از واقعیت، سیار محدود است.^[۲]

پیش‌بینی شیارشدگی، موضوعی پیچیده است، به این ترتیب که برای تحلیل آن نیازمند داشتن علم مواد، تغییر شکل کشسان و خمیری و چسبندگی ماده‌ی چسبندنده‌ی قیری است. روسازی تحت تأثیر بارهای سنگین با سرعت عبور آرام به صورت شیار افتاده در می‌آید.^[۳] تعداد عبور خودرو از روسازی آسفالتی، بیشترین تأثیر را در خرابی خرسنی و شیارشدگی روسازی می‌گذارد.^[۴]

به واسطه‌ی خصوصیت ویسکوکشسان مخلوط‌های آسفالتی، مشخصات مکانیکی آن تحت تأثیر دمای محیط قرار دارد. در واقع با افزایش دما، ویسکوزیتی

* نویسنده مسئول
تاریخ: دریافت ۳، ۱۳۹۴، / اصلاحیه ۱۲، ۲۲، پذیرش ۱۸، ۱۳۹۵، /

۲. اهمیت و ضرورت انجام پژوهش

۱.۲. ضرورت پژوهش

و ترک خودگی روسازی استفاده می‌شود. در مدل وسیس، لایه‌های روسازی توسط تئوری کشسان و ویسکوکشسان شرح داده می‌شوند و مصالح ایزوتropیک (همگن) فرض می‌شوند (رابطه‌ی ۱):

$$\varepsilon_p = e \cdot \mu \cdot N^{-\alpha} \quad (1)$$

که در آن، ε تغییر شکل ماندگار در N آمین سیکل بارگذاری؛ e کرنش پیشینه‌ی برای بار نیمه‌سینوسی با طول زمان بارگذاری $/10^{\circ}$ ثانیه و اندازه‌گیری شده در سیکل 20° ؛ μ و α پارامترهای مدل؛ و N شماره‌ی سیکل بارگذاری مدل هستند. از دیگر مدل‌های رایج شیارشده‌ی براساس تئوری ویسکوکشسان، می‌توان به مدل‌های نیمه‌لگاریتمی، مانسیمیت^۶، وسیس، سوبرپیو^۷ و آشتو^۸ $20^{\circ} 2$ اشاره کرد که در ادامه ارائه شده‌اند:^[۱۲، ۱۳]

$$\text{مدل نیمه لگاریتمی} \quad (2)$$

$$\varepsilon_p = aN^b \quad (3)$$

$$\varepsilon_{pn} = \mu \varepsilon_r N^\alpha \quad (4)$$

$$\varepsilon_p = \varepsilon_p (1) N^s \quad (5)$$

$$\frac{\varepsilon_p}{\varepsilon_r} = aT^b N^c \quad (6)$$

در ادامه‌ی پژوهش‌های صورت گرفته در زمینه‌ی مذکور می‌توان به مدل ارائه شده‌ی شارپ^۹ اشاره کرد (رابطه‌ی ۷):^[۱۴]

$$\varepsilon(t) = (d_0 + d_1 * t^m) * \sigma \quad (7)$$

که در آن، ε کرنش خمیری روسازی؛ σ تنش اعمال به نمونه؛ t زمان؛ و d_0 ، d_1 و m ضرایب بیان‌کننده‌ی مشخصات مصالح هستند. ورمیر^{۱۰} نیز مدلی برای پیش‌بینی تغییر شکل ماندگار ارائه کرده است که به صورت رابطه‌ی ۸ است:

$$\text{Log}\varepsilon^P(N) = \text{Log}\varepsilon^P(N=1) + S * \text{Log}N \quad (8)$$

که در آن، $(N)^P$ کرنش تجمعی در سیکل N ؛ (1) کرنش در سیکل اول؛ N شماره‌ی سیکل بارگذاری؛ S شب نمودار (N) هستند.

۲.۳. ارزیابی مدل‌های پیشین

علاوه بر نبود روشی ثابت شده برای انجام آزمایش عملکردی ساده به منظور ارزیابی مقاومت شیارشده‌ی مخلوط‌های آسفالتی، روش ثابت شده‌ی برای تحلیل نتایج حاصل از آزمایش مذکور نیز موجود نیست. به این منظور پژوهشگران مختلف، مدل‌های مختلفی را برای پیش‌بینی شیارشده‌ی مخلوط‌های آسفالتی ارائه کرده‌اند. لذا براساس ارزیابی مدل‌های ارائه شده‌ی پژوهشگران پیشین، مدل مورد استفاده در پژوهش حاضر انتخاب شده است.

ژو و همکاران^[۱۲] در پژوهش خود بیان کرده‌اند که مدل نیمه‌لگاریتمی فقط قادر به تحلیل رفتار شیارشده‌ی مخلوط‌های آسفالتی در ناحیه‌ی اول است. کی و ویترک^[۱۳] در پژوهش خود مدل شده‌ی مصالح ایزوتropیک را قادر به ارزیابی رفتار مخلوط آسفالتی در نواحی اول و دوم دانسته‌اند. بر این اساس مدل‌های دیگری ارائه شده است، که بر مبنای مدل مذکور است. نهایتاً می‌توان این‌گونه بیان کرد که مدل توانی به خوبی قادر به پیش‌بینی رفتار مخلوط آسفالتی در نواحی اول و دوم است.

افزایش وسعت و شدت تغییر شکل‌های دائم در سال‌های اخیر نگرانی‌هایی را در ارتباط با اثر این نوع خرابی در عملکرد روسازی‌های آسفالتی به وجود آورده است. این نوع خرابی قابلیت بهره‌برداری را کاهش داده و خطر تأثیرات رطوبت و بخزدگی را به علت تجمع آب (آب پیمایی^{۱۱}) در شیار جای چرب افزایش می‌دهد.^[۱۲] همچنین پدیده‌ی مذکور باعث ایجاد قیرزدگی نیز می‌شود که طی آن قیر به سطح روسازی می‌آید و با کاهش اصطکاک، بستر مناسبی برای بروز حوادث رانندگی را مهیا می‌سازد. تأثیر دیگر شیارشده‌ی، کاهش ضخامت لایه‌ی آسفالتی روسازی است که باعث افزایش احتمال شکست روسازی در اثر ترک‌های خستگی می‌شود.^[۱۲]

اگرچه امروزه دستگاه‌های متعددی برای سنجش شیارشده‌ی روسازی آسفالتی به کار گرفته می‌شوند، اما هیچ‌کدام قابلیت‌های کارگاهی مناسبی برای استفاده ندارند. همچنین، روش‌های موجود ارزیابی پتانسیل شیارشده‌ی مخلوط‌های آسفالتی، اغلب پرهزینه بوده و انجام آن‌ها مستلزم صرف زمان زیادی است.^[۱۲] مجموع موارد ذکر شده، لزوم ارائه روشی ساده را که ضمن داشتن دقت لازم بتواند در مدت زمان کوتاه و با هزینه‌ی اندک، وضعیت نمونه‌ها را از نظر شیارشده‌ی در آزمایشگاه مشخص کند، آشکار می‌سازد.

۲.۴. اهداف

هدف اصلی پژوهش حاضر، ارزیابی قابلیت شیارشده‌ی مخلوط‌های آسفالتی با استفاده از آزمایش بارگذاری تکرارشونده و نیز کالیبره کردن مدلی به منظور پیش‌بینی رفتار مخلوط‌های آسفالتی و آنالیز نتایج به دست آمده براساس آن است.

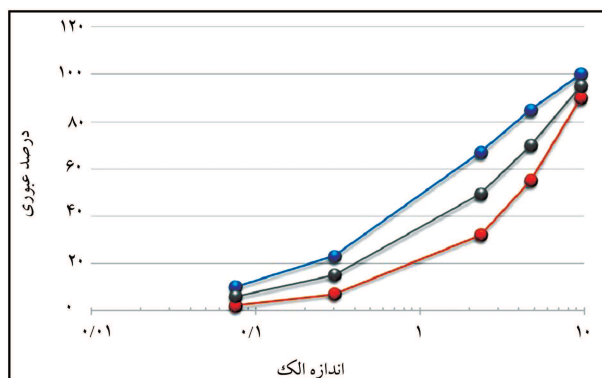
۳. پیشینه‌ی پژوهش

قدمان آزمایشی ساده برای ارزیابی عملکرد مخلوط‌های آسفالتی، مراکز معتبر پژوهشی جهان از جمله NCHRP^{۱۲}، اداره‌ی فدرال بزرگراه‌ها (FHWA)^{۱۳} و سازمان بزرگراه‌های ایالتی^{۱۴} را به حمایت از پژوهه‌هایی با اهداف توسعه‌ی روش آزمایش‌ها و به ویژه توسعه‌ی یک آزمایش اجرایی ساده برای ارزیابی پتانسیل شیارشده‌ی مخلوط‌های آسفالتی، برانگیخته است.^[۱۵] در ادامه، مدل‌های پیشنهادی براساس تئوری ویسکوکشسان ارائه شده است.

۱.۳. مدل‌های پیش‌بینی تغییر شکل ماندگار

تفاوت اصلی بین روش کشسان و ویسکوکشسان در تئوری کشسان در مخلوط‌های آسفالتی، شوری کشسان نسبت تنش به کرنش مستقل از زمان، ثابت نگه داشته می‌شود؛ ولی در تئوری ویسکوکشسان، مواد و مصالح براساس نرخ تغییرات نسبت تنش به کرنش به صورت وابسته به زمان درجه‌بندی می‌شوند. در کرنش‌های کوچک‌تر مخلوط‌های آسفالتی از خود رفتار خطی ویسکوکشسان نشان می‌دهند که رفتار مذکور ویسکوکشسان پیش‌بینی بهتری نسبت به تئوری کشسان از خود نشان می‌دهد.^[۱۵]

یکی از برترین مدل‌های ارائه شده، مدل وسیس^{۱۶} است. وسیس یک برنامه‌ی رایانه‌یی با تئوری احتمال است که به منظور پیش‌بینی عملکرد خزشی، زیری سطح



شکل ۱. منحنی حد بالا، حد پایین و حد وسط دانه‌بندی شماره‌ی ۵.

ارائه شده است. قیر مورد استفاده نیز از نوع ۶۰-۷۰ محسول شرکت نفت پاسارگاد بوده است. به منظور اطمینان از کیفیت مصالح سنگی، فیلر و قیر، آزمایش‌های کنترل کیفیت انجام شده است که نتایج آن در جدول‌های ۱ و ۲ ارائه شده است.

۲.۴. ساخت نمونه‌های آزمایشگاهی

طرح اختلاط و ساخت نمونه‌های آسفالتی مارشال در پژوهش حاضر براساس روش مارشال و طبق استاندارد ASTM-D1559 انجام شده و نمونه‌ها تحت ۷۵ ضربه

علاوه بر فرضیات عمومی که در جای خود به آن‌ها پرداخته شده است، فرض اصلی پژوهش حاضر، ویسکو خمیری بودن رفتار مخلوط‌های آسفالتی است. همچنین با این‌تر متغیر پژوهش حاضر، شرایط بارگذاری است که با تغییر در دمای بارگذاری، سطح تنفس و سرعت بارگذاری شرایط مختلف مخلوط بارگذاری شیوه‌سازی شده است. همچنین در پژوهش حاضر سعی برآن بوده است که انتخاب مصالح، دانه‌بندی، قیر و فیلر به گونه‌یی باشد که نمونه‌های ساخته شده در آزمایشگاه، حتی الامکان مشابه طیف وسیع آسفالت گرم کارخانه‌یی در ایران باشد.

۱.۴. دانه‌بندی و مشخصات مصالح سنگی

مصالح استفاده شده برای ساخت نمونه‌های آسفالتی شامل: سنگ دانه‌های آهکی درشت‌دانه (شن) و ریزدانه (ماسه)، فیلر (مصالح عبوری از الک شماره‌ی ۲۰۰) و قیر با درجه‌ی نفوذ ۶۰,۷۰ هستند. مصالح سنگی مورد استفاده از جنس آهکی بوده و از پودرسنگ الک شده با الک شماره‌ی ۲۰۰ به عنوان فیلر در ساخت نمونه‌ها استفاده شده است. برای ساخت نمونه‌ها از حد وسط دانه‌بندی شماره‌ی ۵ موجود در نشریه‌ی ۲۳۴ (آین نامه‌ی روسازی آسفالتی راه‌های ایران (۱۳۹۰)) استفاده شده است. مشخصات دانه‌بندی استفاده شده در تولید نمونه‌های آسفالتی، در شکل ۱

جدول ۱. مشخصات مصالح سنگی.

آزمایش‌های مصالح سنگی	استاندارد روش آزمایش	نتایج آزمایش	مقدار مجاز آین نامه برای لایه‌ی رویه
درصد سایپی به روش لوس آنجلس *	AASHTO-T16	ASTM-C ۱۳۱	%۳۰ بیشینه‌ی
درصد تطویل **	BS-۸۱۲	ASTM-D ۴۷۹۱	%۸ -
درصد تورق ***	BS-۸۱۲	ASTM-D ۴۷۹۱	%۲۳ بیشینه‌ی
درصد شکستگی در دو جبهه ****	BS-۸۱۲	ASTM-D ۵۸۲۱	%۹۲ کمینه‌ی
درصد افت وزنی در مقابل سولفات سدیم *****	AASHTO-T104	ASTM-C ۸۸	%۰,۵ بیشینه‌ی

* Los Angeles abrasion test

** elongation

*** flakiness

**** percentage of fractured particles

***** soundness of aggregates by use of sodium sulfate

جدول ۲. مشخصات قیر مصرفی.

آزمایش‌های قیر	استاندارد روش آزمایش	نتایج آزمایش	مقدار مجاز آین نامه
	ASTM	AASHTO	کمینه بیشینه
وزن مخصوص قیر * (گرم بر سانتی‌متر مکعب)	T228	D70	-
درجه‌ی نفوذ قیر ** (۱۰° میلی‌متر)	T49	D5	۷۰ ۶۰
نقطه‌ی نرمی قیر *** (میلی‌متر)	T53	D36	۵۶ ۴۹
میزان کشش پذیری قیر ****	T51	D113	- ۱۰۰
درجه‌ی اشتغال قیر *****	T48	D92	- ۲۳۲
کندروانی قیر *****	T72	D88	- -
حالیت قیر *****	T44	D2042	- ۹۹ ۹۹/۸
افت وزنی قیر در اثر حرارت ***	T179	D1754	۰,۸ - ۰,۰۲۵

* density of bitumen ** penetration of bitumen *** softening point of bitumen
 **** ductility of bitumen ***** flash point of bitumen ***** viscosity of bitumen
 ***** solubility of bitumen ***** loosen heating of bitumen (thin film over test)

جدول ۳. شرایط اعمال بارگذاری.

متغیر	مقدار	واحد
شکل بارگذاری	نیم سینوسی	-
مکاپاسکال	۱۰۰	سطح تنش
	۲۰۰	
برابر زمان بارگذاری	۹	زمان استراحت
-	۱ برابر زمان بارگذاری	
درجه سانتی‌گراد	۴۰	دما
	۵۵	
میلی‌ثانیه	۱۰۰	بارگذاری
	۵۰۰	
	۱۰۰۰	

که در آن: $\alpha_4, \alpha_5, \alpha_6, \alpha_7, a, b, \alpha_1, \alpha_2, \alpha_3$ و T : ثابت‌های رگرسیون؛ R : درجه‌ی سانتی‌گراد؛ L : زمان بارگذاری (میلی‌ثانیه)؛ S : سطح تنش (کیلوپاسکال)؛ t : زمان استراحت (میلی‌ثانیه)؛ E : کرنش خمیری در مخلوط‌های آسفالتی است. با توجه به اینکه مدل مورد نظر در سیکل مشخص 150° که نماینده‌ی ناجه‌ی دوم نمودار عملکردی رفتار خزشی مخلوط‌های آسفالت است، تولید شده است: لذا، سیکل بارگذاری در فرمت معادله‌ی مذکور حذف شده است.

۲.۶. ارائه‌ی مدل آزمایشگاهی

برای تولید مدل نهایی از نرم‌افزار مطلب^{۱۲} استفاده و براساس روش مجموع کمینه‌ی مربعات، بهترین رابطه بین 4 متغیر و کرنش که نتیجه‌ی نهایی بوده است، تولید شده است. رابطه‌ی مذکور در یک فضای 5 بعدی برازش داده شده و به صورت معادله‌ی 10 ارائه شده است. منظور از فضای 5 بعدی، فضایی متشکل از 4 متغیر مستقل: دما، سطح تنش، زمان بارگذاری و زمان استراحت به همراه کرنش خمیری (متغیر وابسته‌ی مدل مذکور) است:

$$\varepsilon = R^{0.1542} \times S^{1.00001} \times L^{0.2488} \times T^{1.275} \times (T^{1.275} + 0.0018) \times (T^{1.275} + 0.00635) \quad (10)$$

مدل فوق با $R = 0.9077$ تولید شده و پیش‌بینی قابل قبولی از رفتار مخلوط آسفالتی در ناحیه‌ی دوم ارائه داده است.

۷. تحلیل و تفسیر نتایج

نمونه‌های آسفالتی ساخته شده در 24 حالت مختلف آزمایش و نتایج حاصل به صورت رابطه‌ی 10 به عنوان مدل تغییر شکل ماندگار ارائه شده است. براساس مدل به دست آمده، رفتار آسفالت قابل پیش‌بینی و ارزیابی است. در شکل 2 ، مقادیر پیش‌بینی شده براساس مدل نهایی نمایش داده شده‌اند. نتایج مذکور براساس دمای‌های مختلف ارزیابی و مشاهده شده است که دمای بیشتر در تمامی شرایط و حالات بارگذاری، کرنش بیشتری ایجاد کرده است. با توجه به پژوهش‌های پیشین

به هر طرف نمونه قرار گرفته‌اند. سپس نمونه‌های ساخته شده جهت تعیین درصد قیر بهینه، تحت آزمایش‌های مارشال قرار گرفته‌اند.

۳.۴. تعیین درصد قیر بهینه

به منظور تعیین درصد قیر بهینه، نمونه‌های مارشال با درصد قیرهای $4, 5, 6, 7, 8$ و 9 تهیه و آزمایش شده‌اند. نهایتاً درصد قیر بهینه، 5 تعیین شده است. پس از تعیین درصد قیر بهینه، به منظور انجام آزمایش‌های نهایی نمونه‌هایی با قطر 100 میلی‌متر و به وزن 120° گرم توسط دستگاه تراکم کننده چرخشی تهیه شده است.

۵. انجام آزمایش‌ها و نتایج مرتبط

۵.۱. آزمایش بارگذاری تکرار پذیر

همه‌ترین هدف آزمایش خزش دینامیکی، مطالعه‌ی عملکرد مخلوط آسفالتی در برابر شیارافتادگی است و مهم‌ترین پارامتر به دست آمده از آن، کرنش تجمعی است که به نوعی به مقاومت شیارشدگی مخلوط آسفالتی بستگی دارد. نکته‌ی مهم در مورد آزمایش مذکور این است که از مقادیر تغییر مکان تجمعی حاصل نمی‌توان به عنوان عمق شیار استناد کرد و در واقع جهت مقایسه بین انواع مختلف نمونه‌ی آسفالتی کاربرد دارد. دلیل آن این است که مخلوط آسفالتی در آزمایش خزش دینامیکی، از شرایط مهار جانبه‌ی که در حالت واقعیت از آن برخوردار است، استفاده نمی‌کند و لذا تغییر مکان بیشتری در مقابل اعمال بار از خود نشان می‌دهد.^[۱۳]

۶. شرایط انجام آزمون‌ها بر روی نمونه‌ها

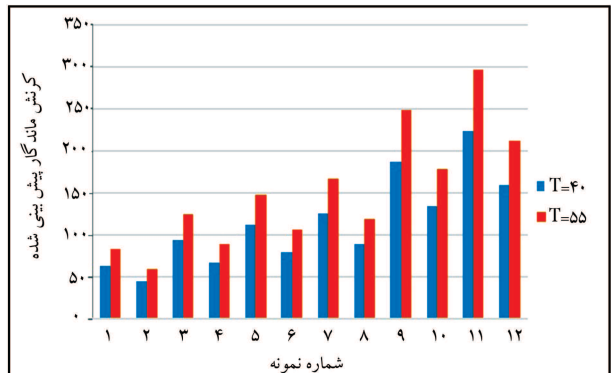
هدف پژوهش حاضر، مقایسه‌ی حساسیت نمونه‌های آسفالتی ساخته شده با دانه‌بندی شماره‌ی 5 با قیر $60, 70$ اصلاح نشده تحت شرایط دمایی و زمان بارگذاری متفاوت است. در جدول 3 ، شرایط بارگذاری اعمالی به نمونه‌ها و در جدول 4 ، ترکیبات بارگذاری برای حالت‌های مختلف ارائه شده است. تأمین شرایط یکسان دمایی پیش از شروع آزمایش بسیار مهم است، به این منظور نمونه‌ها 12 ساعت قبل از انجام آزمایش در محفظه‌ی 11 قرار داده می‌شوند و این دما تا پایان آزمون ثابت می‌ماند.

۶. ارائه و تحلیل نتایج

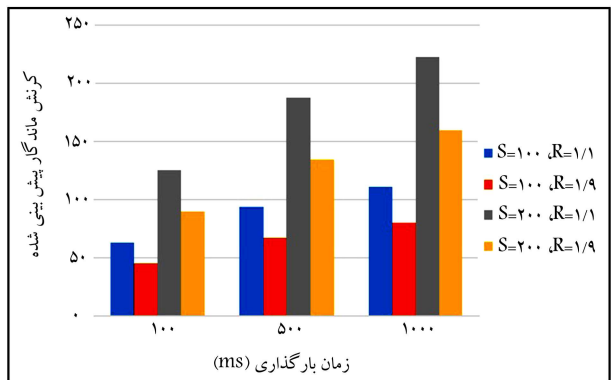
۶.۱. انتخاب روش تحلیل نتایج

براساس توضیحات ارائه شده در قسمت‌های پیش و مدل‌های مذکور، پارامترهای متغیر در مدل آشتو 2002 (رابطه‌ی 6)، ارزشی برابر با سیکل بارگذاری دارند و میزان تأثیرگذاری آن‌ها از طریق ضرایب توانی در رابطه‌ی b, c (نمایان می‌شود). به این منظور برای تحلیل نتایج حاصل از آزمایش تغییر شکل ماندگار، بال‌گوبرداری از مدل پیشنهادی آشتو، ارزش کلیه‌ی متغیرها یکسان در نظر گرفته شده و با استفاده از ضرایب توانی، اثر هر یک در مدل نشان داده شده است. با توجه به اینکه هدف نوشتار حاضر، تولید مدل پیش‌بینی تغییر شکل ماندگار در سیکل ثابت است، لذا فرمت رابطه‌ی مذکور نیازمند کمی تغییرات است. فرمت نهایی موردنظر به صورت رابطه‌ی 9 است:

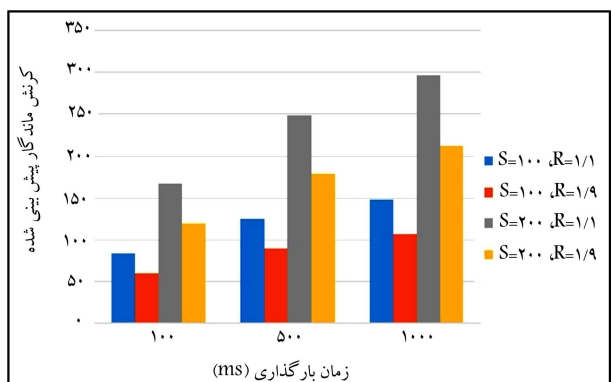
$$\varepsilon = a + b \times (T^{\alpha_1} \times L^{\alpha_2} \times S^{\alpha_3} \times R^{\alpha_4}) \quad (9)$$



شکل ۲. نتایج حاصل از مدل در ۲۴ حالت مختلف بارگذاری.



شکل ۳. نتایج حاصل مدل در دمای ۴۰ درجه‌ی سانتی‌گراد.



شکل ۴. نتایج حاصل از مدل در دمای ۵۵ درجه‌ی سانتی‌گراد.

سنگین تر باشد، خرابی بیشتری مشاهده می‌شود. از طرفی با دقت به محور افقی شکل‌های ۳ و ۴ که نماینده‌ی زمان بارگذاری هستند، این گونه نتیجه‌گیری می‌شود که با کاهش سرعت عبور خودرو، میزان آسیب پذیری روسازی افزایش چشمگیری نشان می‌دهد. به عبارتی می‌توان گفت که محل‌های مانند: خطوط توقف چراغ قرمزها، بنادر، محل‌های اخذ عوارض و نمونه‌های مشابه که در آن‌ها خودروهای با بر سنگین توقف طولانی مدت دارند، بیشترین استعداد در خرابی خرسی را از خود نشان می‌دهند.

در ادامه، نتایج حاصل از مدل برازش داده شده در تمام حالاتی که تحت بارگذاری سیکلی به منظور تولید مدل غیربر شکل مانندگار در پژوهش حاضر استفاده شده است، در شکل ۵ ارائه شده است. که با توجه به آن، خط‌ناتک ترین و کم خطرترین حالت بارگذاری مخلوط آسفالتی قابل مشاهده است. در شرایطی که مخلوط تحت

جدول ۴. شرایط اعمال بارگذاری.

شماره‌ی ترکیب	زمان استراحت	سطح تنش	زمان بارگذاری	دما	سطح تنش	زمان بارگذاری	شماره‌ی ترکیب
۱	۱۰۰	۱۰۰	۱۰۰	۴۰	۵۵	۱	۱
۹	۱۰۰	۱۰۰	۱۰۰	۴۰	۵۵	۲	۹
۱	۵۰۰	۱۰۰	۱۰۰	۴۰	۵۵	۳	۱
۹	۵۰۰	۱۰۰	۱۰۰	۴۰	۵۵	۴	۹
۱	۱۰۰۰	۱۰۰	۱۰۰	۴۰	۵۵	۵	۱
۹	۱۰۰۰	۱۰۰	۱۰۰	۴۰	۵۵	۶	۹
۱	۱۰۰	۲۰۰	۲۰۰	۴۰	۵۵	۷	۱
۹	۱۰۰	۲۰۰	۲۰۰	۴۰	۵۵	۸	۹
۱	۵۰۰	۲۰۰	۲۰۰	۴۰	۵۵	۹	۱
۹	۵۰۰	۲۰۰	۲۰۰	۴۰	۵۵	۱۰	۹
۱	۱۰۰۰	۲۰۰	۲۰۰	۴۰	۵۵	۱۱	۱
۹	۱۰۰۰	۲۰۰	۲۰۰	۴۰	۵۵	۱۲	۹

و مطالعات پژوهشگران گذشته و نکات ارائه شده در بخش‌های قبل، مدل مذکور حساسیت مخلوط‌های آسفالتی نسبت به دما را به درستی نشان داده است.

بر همین اساس و با توجه به مدل به دست آمده در پژوهش حاضر، به بررسی حساسیت مخلوط‌های آسفالتی در ماهاتی مشخص، تحت شرایط متفاوت دیگر پرداخته شده است. در شکل‌های ۳ و ۴، کرنش خمیری پیش‌بینی شده توسط مدل در دمای ۴۰ و ۵۵ درجه‌ی سانتی‌گراد ارائه شده است. با دقت در شکل‌های مذکور مشاهده می‌شود که در هر دما با افزایش سطح تنش و کاهش زمان استراحت، کرنش خمیری در مخلوط‌های آسفالتی افزایش یافته است. به عبارت دیگر، هر چه سرعت بارگذاری افزایش یابد (ترافیک عبوری متراکم‌تر باشد) و میزان بار اعمالی به نمونه

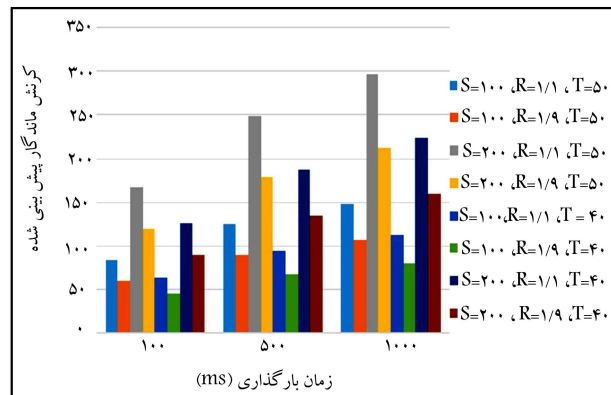
جدول ۵. رابطه‌ی زمان بارگذاری با سرعت عبور خودرو.^[۱۲]

زمان بارگذاری (ثانیه)	۰,۰۴۸	۰,۱۲۴	۰,۰۸۲	۰,۰۶۲	۰,۰۴۹	۰,۰۴۱	۴۰	۶۰	۸۰	۱۰۰	۱۲۰	سرعت (کیلومتر بر ساعت)

۸. نتیجه‌گیری

با توجه به نتایج حاصل از آزمون‌های انجام شده و مدل تولید شده که در متن نوشتار ارائه شده است، می‌توان این گونه نتیجه‌گیری کرد که:

- پژوهش حاضر با هدف تولید مدلی جهت پیش‌بینی رفتار خوشی مخلوط‌های آسفالتی در ناحیه‌ی دوم عملکردی صورت گرفته است که نتیجه‌ی آن به صورت یک مدل ریاضی با $R^2 = ۰,۹۰۷۷$ ارائه شده است.
- افزایش زمان بارگذاری و افزایش تنش بعد از افزایش دما، تأثیرگذارترین عوامل در رشد خرابی خوشی روسازی‌های آسفالتی هستند.
- مطابق شکل ۵، علی‌رغم تأثیر مثبت افزایش زمان استراحت در کاهش خرابی روسازی آسفالتی، پارامتر مذکور توانایی مقابله با اثر مخرب تنش وارد به نمونه و همچنین کاهش سرعت عبور خودرو را ندارد.
- با کاهش سرعت عبور خودرو، میزان آسیب‌پذیری روسازی افزایش چشم‌گیری نشان می‌دهد. به عبارتی می‌توان محل‌هایی مانند: خطوط توقف چراغ قرمزها، بنادر، محل‌های اخذ عوارض و نمونه‌های مشابه که در آن‌ها توقف خودروهای با بار سنگین مشاهده می‌شود، بیشترین استعداد در خرابی خوشی را از خود نشان می‌دهند.
- در مدل به دست آمده رشدی حدود ۷۶٪ در عمق شیار روسازی در سخت‌ترین شرایط محیطی برای روسازی، با افزایش زمان بارگذاری از ۱۰۰ میلی ثانیه به ۱۰۰۰ میلی ثانیه مشاهده شده است؛ که بدین معناست که در محیط‌های گرم‌سیری که بارهای سنگین حمل می‌شود، تعیین کمینه‌ی سرعتی برای عبور وسایط نقلیه می‌تواند تأثیر مثبتی در کاهش خرابی روسازی از خود نشان دهد.
- در مناطق با دمای بسیار بالا ترجیحاً از ایجاد توقف در معابر و جاده‌ها خودداری شود و در منطقی که این موضوع اجتناب‌ناپذیر است، روسازی‌های بتی جایگزین روسازی آسفالتی شود.



شکل ۵. نتایج حاصل از مدل در دماهای ۴۰ و ۵۰ درجه براساس زمان بارگذاری.

تشن ۲۰۰ کیلوپاسکال، دمای ۵۰ درجه‌ی سانتی‌گراد و نسبت استراحت ۱/۱ بوده است، بیشترین آسیب تحت سرعت‌های عبوری مختلف به نمونه وارد شده است. در مقابل در تشن ۱۰۰ کیلوپاسکال، دمای ۴۰ درجه‌ی سانتی‌گراد و نسبت استراحت ۱/۹، کمترین آسیب‌پذیری در نمونه مشاهده شده است. با توجه به مباحث ذکر شده و شکل ۲، می‌توان بدترین و بهترین شرایط را در حالات ۲ و ۱۱ بارگذاری که در محور افقی شکل مذکور ارائه شده است، مشاهده کرد.

در مطالعات خاکی و همکاران،^[۱۳] طول سیکل بارگذاری متناسب با سرعت حرکت خودروها تعیین شده است. در جدول ۵، سرعت حرکت خودروها متناظر با زمان‌های مختلف بارگذاری نمونه‌ی آسفالتی در آزمایشگاه ارائه شده است. براساس مندرجات جدول ۵ و نتایج حاصل از مدل پیش‌رو، کمینه‌ی سرعت حرکت خودرو ۲۰ کیلومتر بر ساعت تعیین شده است. این موضوع به این معناست که در مناطق با دمای بسیار بالا ترجیحاً از ایجاد توقف در معابر و جاده‌ها خودداری شود و در منطقی که این موضوع اجتناب‌ناپذیر است، روسازی‌های بتی جایگزین روسازی آسفالتی شود.

پانوشت‌ها

- hydroplaning
- national cooperative highway research program (NCHRP)
- federal highway administration (FHWA)
- state highway agencies
- vesis
- monismith
- superpave
- aashto
- sharp
- Vermeer
- chamber

12. Matlab

منابع (References)

- Ali Khodaii, A.M. "Evaluation of permanent deformation of unmodified and SBS modified asphalt mixtures using dynamic creep test", *Construction and Building Materials*, **23**, pp. 2586-2592 (2009).
- Huang, H.Y., *Pavement Analysis and Design*, Prentice-Hall Inc., Englewood Cliffs (2004).

3. Kim, Y.R., *Modeling of Asphalt Concrete*, ASCE (American Society of Civil Engineers) Press (2008).
4. Oscarsson, E. "Mechanistic-empirical modeling of permanent deformation in asphalt concrete layers", Doctoral Thesis, Bulletin - Lunds Universitet (2011).
5. Xu, T. "Evaluation of permanent deformation of asphalt mixtures using different laboratory performance tests", *Construction and Building Materials*, **53**, pp. 561-567 (2014).
6. Divandari, H. "Creep model of asphalt mixtures using the indirect tensile strength test results and parameters marshall", *Transport Infrastructure Engineering*, **1**(2)(2013).
7. Ameri, M. "Model prediction of creep potential of asphalt mixtures using Marshall mix design parameters and the effect of these parameters on the Flow number", *5th National Congress on Civil Engineering*(2012).
8. McGarvey, K. "Use of the superpave gyratory compactor as a predictor of field performance of unbound Material", *Atlantic City, New Jersey, USA, 2010 FAA Worldwide Airport Technology Transfer Conference* (April 2010).
9. *Simple Performance Test For Superpave Mix Design*, NCHRP-Report 465.
10. Muraya, P.M. "Permanent deformation of asphalt mixtures", Master of Science in Road Engineering Thesis, IHE/TUDelft (2007).
11. Moghaddam, T.B. "Evaluation of permanent deformation characteristics of unmodified and polyethylene terephthalate modified asphalt mixtures using dynamic creep test", *Materials and Design*, **53**, pp.317-324 (2014).
12. Mansourkhaki, A. "Analytical assessment of the number of cycles of loading timeout leads to disruption of road", *6th National Congress on Civil Engineering*(2012).
13. Onyango, M. "Verification of mechanistic prediction models for permanent deformation in asphalt mixes using accelerated pavement testing", Ph.D. Thesis, Kansas State University (2009).